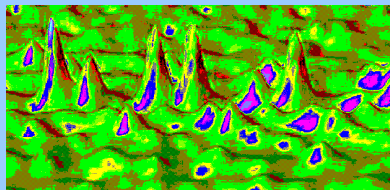




Detekcja światła



Sebastian Maćkowski

Instytut Fizyki

Uniwersytet Mikołaja Kopernika

Adres poczty elektronicznej: mackowski@fizyka.umk.pl

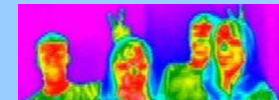
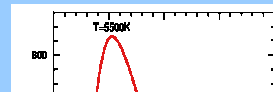
Biuro: 365, telefon: 611-3250

Konsultacje: **czwartek 13-16**

WS 2008/2009

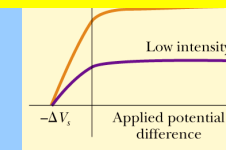


Repeta z wykładu nr 2



- promieniowanie termiczne
- ciało doskonale czarne, model Plancka
- efekt fotoelektryczny, model Einsteina
- dygresje historyczne

$$R(\nu, T) = \frac{2\pi h \nu^3}{c^2} \frac{1}{\exp\left(\frac{h\nu}{kT}\right) - 1}$$



WS 2008/2009



Co to jest detektor?

urządzenie, w którym pod wpływem absorpcji promieniowania elektromagnetycznego zmieniają się jego właściwości

detektory światła

detektory termiczne
 pomiar odbywa się poprzez detekcję zmiany temperatury w wyniku absorpcji światła

detektory fotonowe
 promieniowanie powoduje zmianę obsadzenia poziomów energetycznych

WS 2008/2009



Parametry fotodetektorów

Wydajność kwantowa (quantum efficiency) (η) – liczba elektronów wytwarzanych przez jeden foton padający na powierzchnię światłoczułą detektora

$$\eta = (n_e/n_p) * 100\%$$

n_e - częstość z jaką wytwarzane są elektrony

n_p - częstość z jaką padają fotony

Czułość (responsivity) – jest związana z wydajnością kwantową i dotyczy odpowiedzi fotodetektora na określony strumień fotonów

$$R = I/\Phi$$

I – prąd wyjściowy fotodetektora

Φ – strumień padających fotonów

WS 2008/2009



Parametry fotodetektorów

dla światła o długości fali λ : z kolei:

$$\Phi = n_p hc / \lambda$$

$$I = n_e q$$

wówczas wartość prądu: $I = (\eta \Phi \lambda q) / hc$

a czułość: $R = I / \Phi = (\eta \lambda q) / hc$

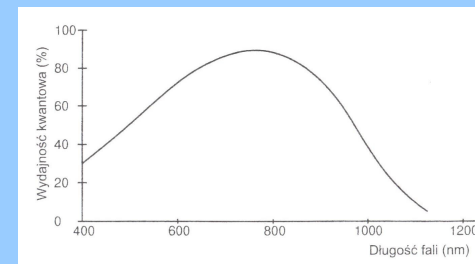
znając wydajność kwantową dla określonej długości fali można wyznaczyć czułość detektora

WS 2008/2009



Parametry fotodetektorów

Charakterystyka widmowa – zależność wydajności kwantowej od długości fali padającego promieniowania



fotodioda krzemowa

WS 2008/2009



Parametry fotodetektorów

Moc równoważna szumu (Noise equivalent power) (NEP)

– wartość skuteczna mocy monochromatycznego promieniowania o długości fali λ podającego na detektor, która daje na wyjściu sygnał odpowiadający poziomowi szumu

$$\frac{\text{sygnał}}{\text{szum}} = \frac{S}{N} = 1$$

im mniejszy NEP tym lepiej

NEP zależy od rodzaju detektora i co z tym związane rodzaju występujących szumów

WS 2008/2009



Parametry fotodetektorów

Detekcyjność/wykrywalność (detectivity) (D^*) – odwrotność NEP

$$D^* = \frac{\sqrt{A \Delta f}}{NEP}$$

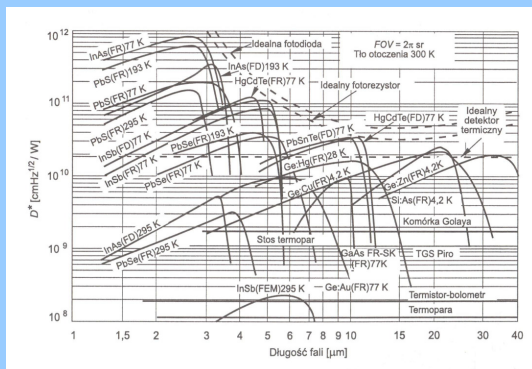
A – aktywna powierzchnia detektora
 Δf – szerokość pasma

WS 2008/2009



Parametry fotodetektorów

Charakterystyka widmowa – zależność wydajności kwantowej od długości fali padającego promieniowania



Detektory termiczne

Detektor	Tryb pracy
Bolometr	Zmiana przewodnictwa elektrycznego
Metaliczny	
Półprzewodnikowy	
Nadprzewodzący	
Ferroelektryczny	
Na „gorących nośnikach”	
Termopara	Generacja napięcia na złączu dwóch różnych materiałów spowodowana zmianą temperatury
Piroelektryczny	Zmiana spontanicznej polaryzacji elektrycznej
Komórka Golaya	Termiczne rozprężanie gazu
Z absorpcją krawędziową	Transmisja optyczna półprzewodnika
Piomagnetyczny	Zmiana właściwości magnetycznych
Ciekłokrystaliczny	Zmiana właściwości optycznych

$\lambda \sim 1 \mu\text{m}$ do 0.1mm , szybkość odpowiedzi $\sim 10 \mu\text{s}$
 szeroka i gładka charakterystyka widmowa
 duży stosunek powierzchni do objętości
 silna absorpcja i dobra izolacja termiczna od otoczenia



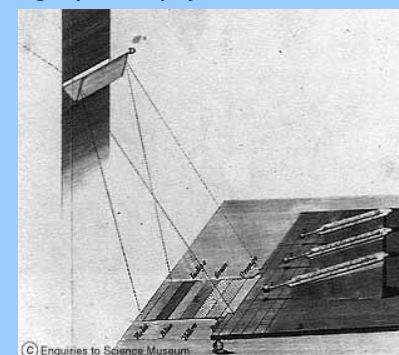
Detektory termiczne-historia

promieniowanie podczerwone – Friedrich Wilhelm Herschel w 1800 r. – obserwacja promieniowania rozszczepionego przez pryzmat



Detektory termiczne-historia

promieniowanie podczerwone – Friedrich Wilhelm Herschel w 1800 r. – obserwacja promieniowania rozszczepionego przez pryzmat

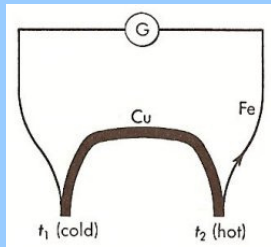




Detektory termiczne-historia

efekt termoelektryczny – Thomas Johann Seebeck w 1821 r.

różnica temperatur pomiędzy dwoma materiałami (metalami lub półprzewodnikami) prowadzi do powstania siły elektromotorycznej



zasada działania termopary (thermocouple not thermovapor)
 $\Delta V = \alpha_S \Delta T$

efekt Seebecka w kuchni:
www.youtube.com/watch?v=HSQ54Vo6Lzo

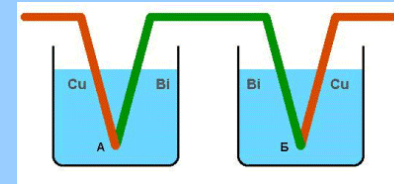
WS 2008/2009



Detektory termiczne-historia

efekt Peltier - Jean Charles Athanase Peltier w 1834 r.

przepływ prądu przez złącze dwóch metali (lub półprzewodników) prowadzi do powstania różnicy temperatur



$$Q = P \cdot t$$

P-współczynnik Peltier $P = P(T)$

WS 2008/2009



Detektory termiczne

efekt Peltier – wartości współczynnika Peltier

Peltier factors for different metal pairs					
Fe-constantan		Cu-Ni		Pb-constantan	
T, K	P, mV	T, K	P, mV	T, K	P, mV
273	13,0	292	8,0	293	8,7
299	15,0	328	9,0	383	11,8
403	19,0	478	10,3	508	16,0
513	26,0	563	8,6	578	18,7
593	34,0	613	8,0	633	20,6
833	52,0	718	10,0	713	23,4

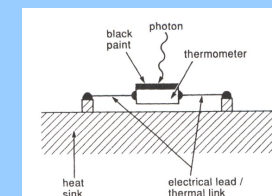
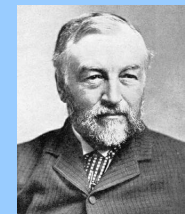
WS 2008/2009



Detektory termiczne-historia

pierwszy bolometr – Samuel Pierpont Langley w 1881 r.

działanie bolometru opiera się na pomiarze zmiany oporności (przewodnictwa) pod wpływem absorbowanego promieniowania



WS 2008/2009



Bolometr

oporność bolometru:

$$\rho = \rho_0(1 + \alpha\Theta)$$

ρ_0 - oporność materiału w temperaturze 0°C

Θ - temperatura wyrażona w °C

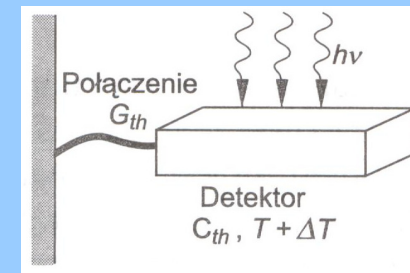
α - współczynnik zmian cieplnych oporności

dla metali $\alpha \sim 5 \times 10^{-3} \text{K}^{-1}$

bolometry oparte na półprzewodnikach osiągają wartości α o rząd wielkości większe



Detektory termiczne



C_{th} - pojemność cieplna
 G_{th} - przewodność cieplna



Detektory termiczne

absorpcja promieniowania -> wzrost temperatury

równanie bilansu ciepła:

$$C_{th} \frac{d\Delta T}{dt} + G_{th} \Delta T = \varepsilon \Phi$$

ΔT - zmiana temperatury

ε - emisyjność detektora

Φ - sygnał



Detektory termiczne

dla promieniowania padającego na detektor postaci

$$\Phi = \Phi_0 e^{i\omega t} \quad \Phi_0 - \text{amplituda}$$

rozwiązanie w postaci

$$\Delta T = \cancel{\Delta T_0 e^{-G_{th}/C_{th}\omega t}} + \frac{\varepsilon \Phi_0 e^{i\omega t}}{G_{th} + i\omega C_{th}}$$

$$\Delta T = \frac{\varepsilon \Phi_0}{(G_{th}^2 + \omega^2 C_{th}^2)^{1/2}}$$

C_{th} i G_{th} powinny być jak najmniejsze



Stała czasowa

dla dużych wartości ω : $\omega^2 C_{th}^2 > G_{th}^2 \rightarrow \Delta T \sim \omega^{-1}$

termiczna stała czasowa: τ_{th}

$$\tau_{th} = \frac{C_{th}}{G_{th}} = C_{th} R_{th}$$

oporność termiczna $R_{th} = 1/G_{th}$

$$\Delta T = \frac{\varepsilon \Phi_0 R_{th}}{(1 + \omega^2 \tau_{th}^2)^{1/2}}$$

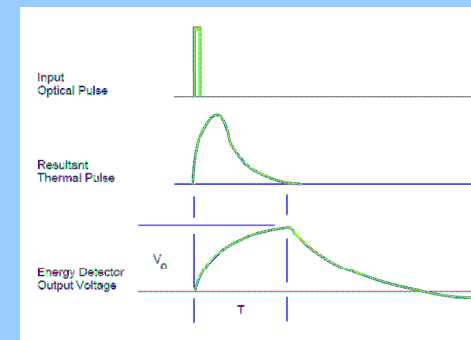
WS 2008/2009



Stała czasowa

$$\Delta T = \frac{\varepsilon \Phi_0 R_{th}}{(1 + \omega^2 \tau_{th}^2)^{1/2}}$$

$\Delta T \sim \tau_{th}^{-1}$ – kompromis pomiędzy szybkością detekcji detektora termicznego a jego czułością



WS 2008/2009



Detektory termiczne

parametr K – związek między zmianą temperatury a elektrycznym sygnałem napięciowym

$$K = \frac{\Delta V}{\Delta T}$$

sygnał wyjściowy wywołany zmianą temperatury

$$\Delta V = K \Delta T = \frac{K \varepsilon \Phi_0 R_{th}}{(1 + \omega^2 \tau_{th}^2)^{1/2}}$$

czułość (napięciowa) detektora

$$R_v = \frac{K \varepsilon R_{th}}{(1 + \omega^2 \tau_{th}^2)^{1/2}}$$

WS 2008/2009



Detektory termiczne

$$R_v = \frac{K \varepsilon R_{th}}{(1 + \omega^2 \tau_{th}^2)^{1/2}}$$

dla niskich częstotliwości promieniowania ($\omega \ll 1/\tau_{th}$)

$R_v \sim R_{th}$ i niezależne od pojemności cieplnej

dla wysokich częstotliwości promieniowania ($\omega \gg 1/\tau_{th}$)

$R_v \sim C_{th}$ i niezależne od rezystancji cieplnej

dla idealnie odizolowanego detektora zachodzi tylko wymiana radiacyjna z otoczeniem

$$R_v = \frac{K}{4\sigma T^3 A (1 + \omega^2 \tau_{th}^2)^{1/2}}$$

WS 2008/2009



Termopara

dla termopary:

$$\Delta V = \alpha_s \Delta T \quad K = \alpha_s$$

$$R_v = \frac{K \varepsilon R_{th}}{(1 + \omega^2 \tau_{th}^2)^{1/2}} \quad \rightarrow \quad R_v = \frac{\alpha_s \varepsilon R_{th}}{(1 + \omega^2 \tau_{th}^2)^{1/2}}$$

dla niskich częstotliwości promieniowania

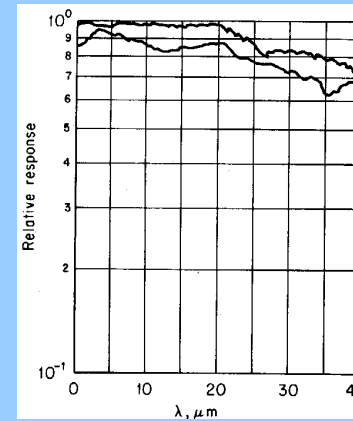
$$R_v = \frac{\alpha_s \varepsilon}{G_{th}}$$

WS 2008/2009



Termopara

spectral response



sensitivity: $D^* = 1 \times 10^9$ Jones
resistance: 5 – 15 Ω
responsivity: 5V/W
time constant: 10 – 20 ms
active area : 0.1x1–0.3x3 mm
manufacturers: Perkin-Elmer,
Charles Reeder, Beckman
Instruments, Farrand, Eppley
Laboratory, Barnes Engineering

WS 2008/2009



Bolometr

dla bolometru:

$$a = \frac{1}{R_d} \frac{dR_d}{dT_d}$$

współczynnik
temperaturowy rezystancji
 R_d -rezystancja bolometru

zmiana napięcia na bolometrze przy stałym I

$$\Delta V = I \Delta R_d = I R_d a \Delta T$$

$$R_v = \frac{I R_d a R_{th} \varepsilon}{(1 + \omega^2 \tau_{th}^2)^{1/2}}$$

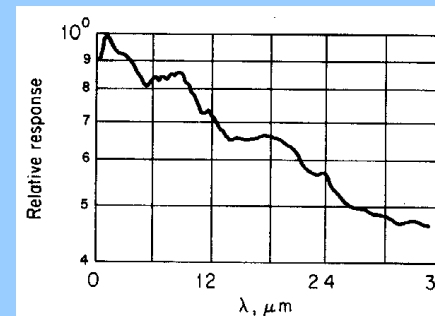
$$\alpha_s \rightarrow I R_d a$$

WS 2008/2009



Bolometr

spectral response

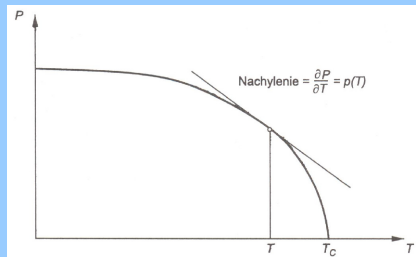
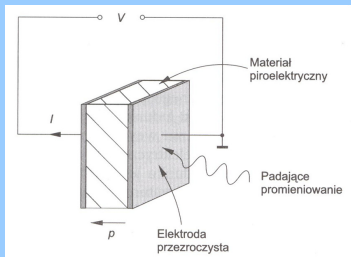


active area: 0.1x0.1 ÷ 5 x 5 mm
quantum efficiency: ~80%
time constant: 1–20 ms
manufacturers: EDO / Barnes
Engineering, Servo Corporation
of America, Thermometrics

WS 2008/2009



Detektor piroelektryczny



fotoprąd płynący przez detektor piroelektryczny

$$I_{ph} = Ap \frac{dT}{dt} = \frac{\epsilon p A \Phi_0 \omega}{G_{th} (1 + \omega^2 \tau_{th}^2)^{1/2}}$$

WS 2008/2009



Detektor piroelektryczny

czułość prądowa detektora

$$R_i = \frac{I_{ph}}{\Phi_0} = \frac{\epsilon p A \omega}{G_{th} (1 + \omega^2 \tau_{th}^2)^{1/2}}$$

w granicy małych częstotliwości, ($\omega \ll 1/\tau_{th}$)

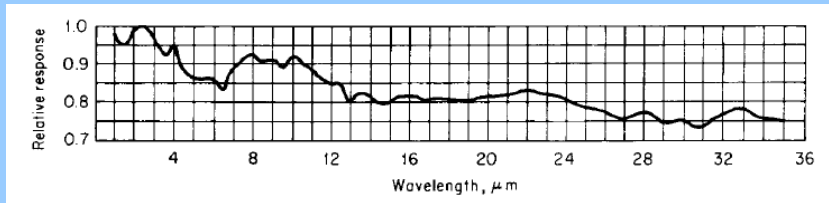
$$R_i = \frac{\epsilon p}{c_{th} t}$$

WS 2008/2009



Detektor piroelektryczny

spectral response



active area: 2 ÷ 50 mm in diameter round
10x10 mm square

quantum efficiency: >75%

time constant: 1–20 μs

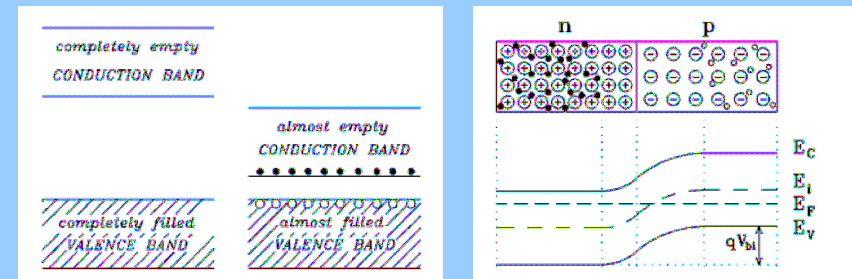
manufacturers: Delta Developments, EG&G Heimann, Eltec, Electro-Optical Systems, Gentec, Oriel, Phillips, Spiricon

WS 2008/2009



Plan na czwarty wykład

półprzewodniki: wprowadzenie i fizyka złąc



WS 2008/2009